

بِسْمِ اللَّهِ الرَّحْمَنِ الرَّحِيمِ



دانشگاه صنعتی اصفهان

دانشکده مهندسی مواد

## بررسی رفتار خودرگی پوشش آب‌گریز نانوساختار مت Shank از ترکیبات سیلانی بر زیر لایه مسی

پایان‌نامه کارشناسی ارشد خودرگی و حفاظت از مواد

صادق ادھمی

اساتید راهنما

دکتر مسعود عطاپور

دکتر علیرضا علافچیان



دانشگاه صنعتی اصفهان

دانشکده مهندسی مواد

پایان نامه‌ی کارشناسی ارشد رشته‌ی خوردگی و حفاظت از مواد آفای صادق ادھمی

تحت عنوان

بررسی رفتار خوردگی پوشش آب‌گریز نانوساختار مت Shankل از ترکیبات سیلانی بر زیر لایه  
مسی

در تاریخ ۱۳۹۳/۱۰/۲۲ توسط کمیته‌ی تخصصی زیر مورد بررسی و تصویب نهایی قرار گرفت.

دکتر مسعود عطاپور

۱- استاد راهنمای پایان نامه

دکتر علیرضا علافچیان

۲- استاد راهنمای پایان نامه

دکتر محمدعلی گلزار

۳- استاد داور

دکتر حمیدرضا سلیمانی جزی

۴- استاد داور

دکتر کیوان رئیسی

سرپرست تحصیلات تکمیلی دانشکده

سپاس خدای را که سخنوران، در ستودن او بمانند و شمارندگان، شمردن نعمت های او ندانند و کوشندگان، حق او را گزاردن نتوانند؛ و سلام و دورد بر محمد و خاندان پاک او، طاهران معصوم، هم آنان که وجودمان و امدادار وجودشان است.

با سپاس از سه وجود مقدس:

آنان که ناتوان شدند تا ما به توانایی برسیم...

موهایشان سپید شد تا ماروسفید شویم...

و عاشقانه سوختند تا گرمابخش وجود ما و روشنگر راهمان باشند...

پدرانمان

مادرانمان

استادانمان

کلیهی حقوق مادی مترتب بر نتایج مطالعات،  
ابتكارات و نوآوری‌های ناشی از تحقیق موضوع  
این پایان‌نامه (رساله) متعلق به دانشگاه صنعتی  
اصفهان است.

تقدیم به آنکه کره کور نخور او منم!

تقدیم به پدر و مادر عزیزم:

آن دو فرسته‌ای که از خواسته‌هایشان گذشتند، سختی هارا به جان خریدند و خود را سپر

بلاسی مشکلات و ناملایمات کردند تا من به جایگاهی که اکنون در آن ایستاده ام برسم.

تقدیم به خواهرانم:

که وجودشان شادی، نخش و صفاشان مایه آرامش من است.

تقدیم به برادرانم:

که همواره در طول تحصیل متخل زحماتم بودند و تکیه گاه من در مواجهه با مشکلات،

وجودشان مایه دلکرمی من می‌باشد.

## فهرست مطالب

| صفحه                           |  | عنوان |
|--------------------------------|--|-------|
| .....                          | فهرست مطالب                              | ..... |
| .....                          | فهرست اشکال                              | ..... |
| .....                          | فهرست جداول                              | ..... |
| .....                          | جکیده                                    | ..... |
| <b>فصل اول: مقدمه</b>          |  |       |
| <b>فصل دوم: مروری بر مطالب</b> |  |       |
| .....                          | ۱-۲ مس و آلیاژهای آن                     | ..... |
| .....                          | خوردگی مس                                | ۱-۱-۲ |
| .....                          | خوردگی مس در آب دریا                     | ۲-۱-۲ |
| .....                          | فرآیند سل ژل                             | ۲-۲   |
| .....                          | تهیه محلول همگن                          | ۱-۲-۲ |
| .....                          | تشکیل سل                                 | ۲-۲-۲ |
| .....                          | تشکیل ژل                                 | ۳-۲-۲ |
| .....                          | خشک کردن                                 | ۴-۲-۲ |
| .....                          | کاربردهای روش سل ژل                      | ۵-۲-۲ |
| .....                          | پوشش‌های ایجاد شده به روش سل ژل          | ۶-۲-۲ |
| .....                          | ترکیب‌های سیلانی                         | ۳-۲   |
| .....                          | ترکیب‌های آلی-معدنی                      | ۱-۳-۲ |
| .....                          | هیدرولیز و تراکم محلول‌های سیلانی        | ۲-۳-۲ |
| .....                          | سینتیک هیدرولیز و تراکم محلول‌های سیلانی | ۳-۳-۲ |
| .....                          | پیوند میان عامل سیلانی با سطح فلزها      | ۴-۳-۲ |
| .....                          | پیوند میان عامل سیلانی با سطح مس         | ۵-۳-۲ |
| .....                          | معرفی دو نوع از ترکیب‌های سیلانی         | ۶-۳-۲ |
| .....                          | حفظ از خوردگی مس با ایجاد پوشش سیلانی    | ۷-۳-۲ |
| .....                          | فناوری نانو                              | ۴-۲   |
| .....                          | مواد نانو ساختار                         | ۱-۴-۲ |

|         |  |       |
|---------|--|-------|
| ۲۷..... | مواد نانو ذره.....                                     | ۲-۴-۲ |
| ۲۸..... | روش‌های تولید نانو مواد.....                           | ۳-۴-۲ |
| ۲۹..... | روش سل ژل در تولید نانو مواد.....                      | ۴-۴-۲ |
| ۳۰..... | ۵-۲ سطوح آب گریز.....                                  |       |
| ۳۰..... | کشش سطحی.....  | ۱-۵-۲ |
| ۳۱..... | زاویه تماس.....  | ۲-۵-۲ |
| ۳۳..... | هیسترزیس زاویه تماس.....                               | ۳-۵-۲ |
| ۳۳..... | حالت‌های مختلف سطوح آب گریز.....                       | ۴-۵-۲ |
| ۳۶..... | روش‌های ساخت سطوح آب گریز.....                         | ۵-۵-۲ |
| ۳۶..... | کاربردهای سطوح آب گریز.....                            | ۶-۵-۲ |
| ۳۷..... | ۶-۲ حفاظت از خوردگی مس با پوشش‌های آب گریز سیلانی..... |       |
| ۳۹..... | ۷-۲ جمع‌بندی.....                                      |       |

### فصل سوم: مواد و روش

|          |  |
|----------|--|
| ۴۰ ..... | ۱-۳ زیر لایه مسی .....                           |
| ۴۰ ..... | ۲-۳ پوشش .....                                   |
| ۴۱ ..... | ۱-۲-۳ مواد پوشش .....                            |
| ۴۱ ..... | ۲-۲-۳ ساخت محلول پوشش .....                      |
| ۴۱ ..... | ۳-۲-۳ اعمال پوشش .....                           |
| ۴۱ ..... | ۳-۳ مشخصه یابی پوشش .....                        |
| ۴۱ ..... | ۱-۳-۳ آزمون طیف‌سنج مادون‌قرمز تبدیل فوریه ..... |
| ۴۱ ..... | ۲-۳-۳ میکروسکوپ نیروی اتمی .....                 |
| ۴۲ ..... | ۳-۳-۳ میکروسکوپ الکترونی روبشی .....             |
| ۴۲ ..... | ۴-۳-۳ آزمون پراش اشعه ایکس .....                 |
| ۴۲ ..... | ۵-۳-۳ میکروسکوپ نوری .....                       |
| ۴۲ ..... | ۴-۳ آزمون‌های خوردگی .....                       |
| ۴۳ ..... | ۱-۴-۳ سلول آزمون خوردگی .....                    |
| ۴۳ ..... | ۲-۴-۳ آزمون پلاریزاسیون پتانسیو دینامیک .....    |
| ۴۳ ..... | ۳-۴-۳ آزمون طیف‌سنجی امپدانس الکتروشیمیایی ..... |
| ۴۳ ..... | ۴-۴-۳ آزمون غوطه‌وری .....                       |

|    |       |                        |
|----|-------|------------------------|
| ۴۳ | ..... | ۵-۳ زاویه تماس قطره آب |
|----|-------|------------------------|

#### فصل چهارم: نتایج و بحث

|    |       |   |
|----|-------|---|
| ۴۴ | ..... | ۱-۴ ترکیب فلز زیرلایه   |
| ۴۴ | ..... | ۲-۴ مشخصه یابی پوشش ها  |
| ۴۴ | ..... | بررسی طیف سنج FTIR ۱-۲-۴  |
| ۴۶ | ..... | طرح واره پیوندها میان پوشش های سیلانی و مس ۲-۲-۴                          |
| ۴۷ | ..... | ریز ساختار پوشش های سیلانی ۳-۲-۴  |
| ۴۹ | ..... | ضخامت پوشش سیلانی ۴-۲-۴   |
| ۵۰ | ..... | ۳-۴ بررسی رفتار خوردگی پوشش های سیلانی                                    |
| ۵۰ | ..... | پتانسیل مدار باز ۱-۳-۴  |
| ۵۱ | ..... | آزمون پلاریزاسیون در محلول کلرید سدیم ۳/۵ درصد وزنی ۲-۳-۴                 |
| ۵۴ | ..... | آزمون EIS در محلول کلرید سدیم ۳/۵ درصد وزنی ۳-۳-۴                         |
| ۵۸ | ..... | اثر زمان غوطه وری در محلول کلرید سدیم ۳/۵ درصد وزنی بر رفتار خوردگی ۴-۳-۴ |
| ۶۳ | ..... | بررسی اثر غلظت یون کلرید بر رفتار خوردگی ۵-۳-۴                            |
| ۶۶ | ..... | رفتار خوردگی پوشش TEOS+MPTMS در آب خلیج فارس ۶-۳-۴                        |
| ۶۹ | ..... | ۴-۴ بررسی آب گریزی پوشش های سیلانی  |

#### فصل پنجم: نتیجه گیری و پیشنهادها

|    |       |                |
|----|-------|----------------|
| ۷۲ | ..... | ۱-۵ نتیجه گیری |
| ۷۳ | ..... | ۲-۵ پیشنهادها  |
| ۷۴ | ..... | مراجع          |

## فهرست اشکال

| صفحه | عنوان   |
|------|---|
| ۶    | شكل ۱-۲. نمودار پوریه مس و آب در دمای ۲۵ درجه سانتی گراد [۱۲]   |
| ۸    | شكل ۲-۲. نمودار پوریه مس و آب دریا در دمای ۲۵ درجه سانتی گراد [۱۲]  |
| ۱۲   | شكل ۳-۲. نمای کلی از تمامی مراحل سل ژل [۱۵]   |
| ۱۲   | شكل ۴-۲. نمای کلی روش پوشش دهنی؛ (الف) غوطه وری ب) چرخشی [۱۷]   |
| ۱۳   | شكل ۵-۲. طرح واره ایجاد یک لایه به روش سل ژل بر روی زیر لایه فلزی [۱۸]  |
| ۱۳   | شكل ۶-۲. شمای تشکیل پیوند کووالانسی میان فلز و پوشش تهیه شده به روش سل ژل [۱۸]  |
| ۱۴   | شكل ۷-۲. تصاویر نمونه های آلومینیومی غوطه وری شده به مدت ۱ هفته در محلول کلرید سدیم ۳٪ وزنی. (الف) بدون پوشش ب) پوشش آلی (ج) پوشش آلی همراه با نانوذره زیر کونیا [۱۸]                                     |
| ۱۹   | شكل ۸-۲ (الف) یون $\text{SiO}_4^{4-}$ ب) نمای سه بعدی مولکول TEOS [۲۱]  |
| ۲۰   | شكل ۹-۲. نمای سه بعدی مولکول MPTMS [۲۲]   |
| ۲۱   | شكل ۱۰-۲. نمودار پلاریزاسیون پتانسیو دینامیک مس در شرایط ۱) بدون $1 \times 10^{-7} \text{ m/L}^{-1}$ MPTMS ۲) $1 \times 10^{-4} \text{ m/L}^{-1}$ MPTMS ۳) $1 \times 10^{-3} \text{ m/L}^{-1}$ MPTMS [۲۳] |
| ۲۲   | شكل ۱۱-۲. نمودار FTIR (الف) مولکول MPTMS (ب) MPTMS بر روی مس در محلول ۰/۱ مولار کلرید پتانسیم [۲۳]  |
| ۲۳   | شكل ۱۲-۲. نمودار پلاریزاسیون پتانسیو دینامیک مس در محلول کلرید سدیم ۳/۵ درصد وزنی. نمونه بدون پوشش و نمونه های پوشش دار MPTMS با زمان های هیدرولیز مختلف [۵]  |
| ۲۴   | شكل ۱۳-۲. مقایسه نمودار پلاریزاسیون تألف مس در محلول کلرید سدیم ۰/۱۵ مولار ۱) بدون پوشش ۲) پوشش BTMSE/MPTMS (۳) پوشش (۴) BTMSE+MPTMS  |
| ۲۵   | شكل ۱۴-۲. نمودار پلاریزاسیون پتانسیو دینامیک مس پوشش داده شده با MPTMS در شرایط مختلف غوطه وری و pH [۶]   |
| ۲۵   | شكل ۱۵-۲. نمودار پلاریزاسیون پتانسیو دینامیک مس پوشش داده شده با ترکیب های مختلف سیلانی [۶]   |
| ۲۶   | شكل ۱۶-۲. نمودار پلاریزاسیون نمونه های برنجی پوشش داده شده با MPTMS در غلظت های مختلف از یون $\text{Cl}^-$ [۷]  |
| ۲۸   | شكل ۱۷-۲. نمودار باد Z مربوط به پوشش های سیلان حاوی نانو ذرات سریم و سیلیکا پس از غوطه وری در محلول کلرید سدیم [۲۵]   |
| ۳۱   | شكل ۱۸-۲. پدیده کشش سطحی [۲۸]   |
| ۳۱   | شكل ۱۹-۲. بیان رفتار سطح جامد در برابر مایع بر اساس زاویه تماس. (الف) سطح آب دوست و ب) سطح آب گریز [۱۱]   |
| ۳۲   | شكل ۲۰-۲. دستگاه زاویه سنج [۱۱]   |
| ۳۴   | شكل ۲۱-۲. حالت های مختلف سطوح آب گریز؛ (الف) حالت ونzel، ب) حالت کاسی، پ) حالت لوتوس، د) حالت انتقال بین ونzel و کاسی و ه) حالت جکو [۳۱]  |
| ۳۵   | شكل ۲۲-۲. قطره کوچک بر روی برگ گیاه نیلوفر آبی [۲۶]   |

- شكل ۲۳-۲. الف) تصویر پای مارمولک و ب) شیوه‌سازی سطح فوق آب گریز با پاهای مارمولک با استفاده از نانوتیوب کربن [۳۲].  
۳۵.....
- شكل ۲۴-۲. الف) کابل یخزده بدون سطح آب گریز و ب) کابل با سطح آب گریز [۱۱].  
۳۶.....
- شكل ۲۵-۲. شمای مراحل مختلف تشکیل پوشش آب گریز PFDTs و MPTMS بر روی مس [۸].  
۳۷.....
- شكل ۲۶-۲. نمودار نایکوئیست مس (الف) بدون پوشش ب) با پوشش MPTMS و PFDTs [۸].  
۳۸.....
- شكل ۲۷-۲. پوشش پلی استر اصلاح شده با PDMS بر آلیاژ برنز؛ الف) تصویر AFM، ب) نمودار پلاریزاسیون تافل [۳۶].  
۳۹.....
- شكل ۱-۴. طیف FTIR نمونه مس پوشش داده شده با TEOS، MPTMS و TEOS+MPTMS  
۴۵.....
- شكل ۲-۴. طرح واره تشکیل پوشش‌های سیلانی بر زیر لایه مسی. الف) قبل از هیدرولیز، ب) تشکیل پیوند Si–O–Si بعد از هیدرولیز.  
۴۶.....
- شكل ۳-۴. تصویر میکروسکوپی الکترونی روبشی از نمونه با پوشش (الف) TEOS، (ب) MPTMS و (ج) TEOS+MPTMS  
۴۷..... تصویر FE-SEM از TEOS+MPTMS
- شكل ۴-۴. الگوی پراش اشعه ایکس پوشش سیلانی یور زیر لایه مسی.  
۴۸.....
- شكل ۵-۴. الف و ب) مورفولوژی فیلم سیلانی بر روی مس (ج) شکل قطره آب بر روی سطح آب گریز مس [۹].  
۴۹.....
- شكل ۶-۴. تصویر میکروسکوپی الکترونی روبشی از ضخامت پوشش TEOS+MPTMS  
۴۹.....
- شكل ۷-۴. نمودار OCP مربوط به مس بدون پوشش و با پوشش در محلول کلرید سدیم  $3/5$  درصد وزنی.  
۵۰.....
- شكل ۸-۴. نمودار پلاریزاسیون پتانسیو دینامیک مس پس از  $۰/۵$  ساعت غوطه‌وری در محلول کلرید سدیم  $3/5$  درصد وزنی با پوشش  
های مختلف.....  
۵۱.....
- شكل ۹-۴. رفتار آندی مس در محلول آبی حاوی یون کلرید [۲].  
۵۲.....
- شكل ۱۰-۴. رفتار آندی مس و پوشش TEOS+MPTMS تا  $۵۵۰$  میلی ولت نسبت به OCP  
۵۴.....
- شكل ۱۱-۴. نمودار نایکوئیست مربوط به (الف) Cu، (ب) Cu+TEOS، (ج) Cu+MPTMS و (د) Cu+TEOS+MPTMS  
۵۵.....
- شكل ۱۲-۴. نمودار باد Z نمونه‌های مس بدون پوشش و با پوشش‌های سیلانی.  
۵۶.....
- شكل ۱۳-۴. نمودار باد فاز نمونه‌های مس بدون پوشش و با پوشش‌های سیلانی.  
۵۷.....
- شكل ۱۴-۴. مدار معادل پیشنهادی جهت مدل‌سازی داده‌های امپدانس الکتروشیمیایی، الف) Cu و Cu+TEOS، ب) Cu+MPTMS و  
۵۷..... Cu+TEOS + MPTMS
- شكل ۱۵-۴. نمودارهای باد نمونه‌های مس بدون پوشش و با پوشش TEOS+MPTMS با زمان مختلف غوطه‌وری در محلول کلرید  
سدیم  $3/5$  درصد وزنی (الف) باد Z، ب) باد فاز.....  
۵۹.....
- شكل ۱۶-۴. نمودار تغییر قدر مطلق Z نسبت به زمان غوطه‌وری در محلول کلرید سدیم  $3/5$  درصد وزنی.....  
۵۹.....
- شكل ۱۷-۴. تصاویر سه بعدی AFM از پوشش‌های سیلانی: الف، ج و ه) قبل، ب، د و (و) بعد از  $۱۲۰$  ساعت غوطه‌وری در محلول کلرید  
سدیم  $3/5$  درصد وزنی.....  
۶۰.....
- شكل ۱۸-۴. تصویر AFM با غلظت‌های متفاوت از پوشش سیلانی. الف)  $2 \text{ mmol cm}^{-2}$  و ب)  $8 \text{ mmol cm}^{-2}$ [۵۸]  
۶۱.....
- شكل ۱۹-۴. تصاویر میکروسکوپی نوری با بزرگنمایی  $۲۰۰$  از پوشش (الف) TEOS و (ج) MPTMS، ب) TEOS+MPTMS بعد از  
۶۲.....  $۱۲۰$  ساعت غوطه‌وری در محلول کلرید سدیم  $3/5$  درصد وزنی.....

|   |    |
|---|----|
| شکل ۲۰-۴. نمودار پلاریزاسیون پتانسیو دینامیک مس پس از ۵/۰ ساعت غوطه‌وری در محلول کلرید سدیم با درصدهای وزنی متفاوت.   | ۶۳ |
| نمونه‌های بدون پوشش و با پوشش TEOS+MPTMS  |    |
| شکل ۲۱-۴. نمودار نایکوئیست نمونه‌های مس با پوشش TEOS+MPTMS در محلول کلرید سدیم با درصدهای وزنی متفاوت.....  | ۶۴ |
| شکل ۲۲-۴. نمودار باد Z نمونه‌های مس بدون پوشش و با پوشش TEOS+MPTMS در محلول کلرید سدیم با درصدهای وزنی متفاوت.....  | ۶۵ |
| شکل ۲۳-۴. نمودار باد فاز نمونه‌های مس با و بدون پوشش TEOS+MPTMS در محلول کلرید سدیم با درصدهای وزنی متفاوت.   | ۶۶ |
| شکل ۲۴-۴. مقایسه نمودار پلاریزاسیون پتانسیو دینامیک مس پس از ۰/۵ ساعت غوطه‌وری در محلول کلرید سدیم ۳/۵ درصد وزنی و آب خلیج فارس. نمونه‌های بدون پوشش و با پوشش TEOS+MPTMS | ۶۷ |
| شکل ۲۵-۴. نمودار باد Z مربوط به هر دو نمونه مس بدون پوشش و با پوشش TEOS+MPTMS در محلول کلرید سدیم ۳/۵ درصد وزنی و آب خلیج فارس.....                                       | ۶۸ |
| شکل ۲۶-۴. تصویر قطره آب بر روی سطوح مختلف (الف) Cu+TEOS (ب) Cu+MPTMS (ج) Cu+TEOS (د) Cu+MPTMS   | ۷۰ |
| شکل ۲۷-۴. تصویر SEM از فیلم آگریز بر روی مس (الف) قبل از غوطه‌وری (ب) بعد از غوطه‌وری در محلول کلرید سدیم ۳/۵ درصد وزنی [۱۰]  | ۷۱ |
| شکل ۲۸-۴. طرح واره حالت تماس آب با سطح پوشش در حضور هوا [۱۰]  | ۷۱ |

## فهرست جداول

| <u>عنوان</u>   | <u>صفحه</u> |
|--|-------------|
| جدول ۱-۲. خوردگی مس و آلیاژهای آن در محیط‌های مختلف [۱۲]   | ۷           |
| جدول ۲-۲. گروه‌های مختلف ترکیب‌های سیلانی [۱۹]   | ۱۵          |
| جدول ۳-۲. پارامترهای خوردگی مربوط به تأثیر غلظت MPTMS بر بازدارندگی مس در محلول ۰/۱ مولار کلرید پتاسیم [۲۳]        | ۲۱          |
| جدول ۴-۲. پارامترهای خوردگی مربوط به نمونه مسی بدون پوشش و نمونه‌های پوشش‌دار MPTMS با زمان‌های هیدرولیز مختلف [۵] | ۲۳          |
| جدول ۲-۵. اندازه‌ی زاویه تماس قطره آب بر روی نمونه‌های مختلف مسی [۸]   | ۳۸          |
| جدول ۱-۴. آنالیز ترکیبی مس زیرلایه   | ۴۴          |
| جدول ۲-۶. مشخصه باندهای جذب برای پوشش‌های سیلانی اعمالی بر روی مس  | ۴۶          |
| جدول ۳-۴. مشخصه‌های خوردگی مس بدون پوشش و مس با پوشش‌های سیلانی در محلول کلرید سدیم ۳/۵ درصد وزنی                  | ۵۳          |
| جدول ۴-۴. مقادیر متناسب با مدارهای معادل آزمون EIS برای مس بدون پوشش و با پوشش سیلانی                              | ۵۸          |
| جدول ۵-۴. مشخصه‌های خوردگی مس با و بدون پوشش MPTMS+TEOS در محلول کلرید سدیم با درصدهای وزنی متفاوت ...             | ۶۴          |
| جدول ۶-۴. میزان املاح موجود در آب‌های آزاد و آب خلیج فارس [۵۹]   | ۶۷          |
| جدول ۷-۴. مشخصه‌های خوردگی مس با و بودن پوشش TEOS+MPTMS در محلول کلرید سدیم ۳/۵ درصد و آب خلیج فارس                | ۶۸          |

## چکیده

یکی از مهم‌ترین وظایف برای از بین بردن خطرها در صنعت، پیشگیری از خوردگی است. برای جلوگیری از خوردگی فلزات و دیگر مواد، به طور عمده از پوشش‌های محافظت استفاده می‌شود. در این پژوهش به بررسی رفتار خوردگی سه پوشش پایه سیلانی بر زیر لایه مسی در محلول کلرید سدیم پرداخته شد. برای همین منظور پوشش‌هایی از ترااتیل اورتوسیلیکات (TEOS)، تریمرکاپتوپروپیل (تری‌متوكسی‌سیلان) (MPTMS) و مخلوط TEOS+MPTMS به روش سل ژل بر روی مس ایجاد شد. محلول سیلان با حل کردن ترکیب‌های سیلانی در مخلوط الكل، آب مقطر و اسید کلریدریک آمده شد. برای بررسی مورفولوژی و ترکیب شیمیایی سطح از میکروسکوپ نیروی اتمی، میکروسکوپ الکترونی روبشی و آزمون طیف‌سنج مادون‌قرمز تبدیل فوریه، استفاده شد. از آزمون‌های پلاریزاسیون پتانسیو دینامیک، طیف‌سنجی امپانس الکتروشیمیایی و آزمون غوطه‌وری برای مقایسه رفتار خوردگی نمونه‌های مس بدون پوشش و پوشش دار استفاده شد. نتایج نشان داد که پوشش TEOS+MPTMS بهترین حفاظت از خوردگی را نسبت به مس بدون پوشش، TEOS و MPTMS دارد. این رفتار به دلیل وجود پیوند کواوالانسی Cu-S با سطح مس و پیوندهای عرضی Si-O-Si است که توسط آنالیز FTIR شناسایی شدند. تصاویر میکروسکوپی نیروی اتمی به دست آمده بعد از ۱۲۰ ساعت غوطه‌وری، تخریب کمی را برای سطح پوشش TEOS+MPTMS نسبت به دو پوشش دیگر نشان داد که مطابق با تصاویر به دست آمده از میکروسکوپ نوری بود. به علاوه، مطالعه ریزاساختار سطح پوشش‌ها به وسیله میکروسکوپ الکترونی روبشی نشان داد که ذرات کروی سیلیکا بر روی مس توزیع شده و اندازه ذرات مابین ۷۵-۲۵۰ nm است. اثر بازدارندگی خوردگی و پایداری مس توسط پوشش TEOS+MPTMS در آب حاوی غلظت‌های متفاوت ۱/۵، ۲/۵ و ۳/۵ درصد وزنی کلرید سدیم، تابعیت چندانی از غلظت یون کلرید نداشته است. نتایج آزمون‌های الکتروشیمیایی بیان داشت که با اینکه املاح دیگری افزون بر یون کلرید در آب خلیج‌فارس وجود دارند، اما پوشش TEOS+MPTMS دارای رفتار خوردگی مشابه با محلول کلرید سدیم ۳/۵ درصد وزنی بوده و عامل اصلی خوردگی مس در این محیط یون کلرید است. بررسی رفتار آب گریزی پوشش نشان داد که سطح TEOS+MPTMS دارای زاویه قطره آب ۹۸° است.

کلمات کلیدی: پوشش سیلانی، خوردگی، مس، یون کلرید و آب گریز.

## فصل اول

### مقدمه

خوردگی در اجسام و قطعه‌های بکار رفته در صنایع گوناگون همچون صنایع هواپی، صنایع کشتی‌سازی، صنایع هسته‌ای، صنایع نفت، گاز و پتروشیمی بسیار حائز اهمیت بوده و اگر به موقع مورد توجه قرار نگیرد، می‌تواند باعث ایجاد خسارت‌های جبران‌ناپذیری از نظر اقتصادی، میزان مصرف انرژی و همچنین زیست‌محیطی شود. این زیان‌ها به حدی اهمیت دارد که تحقیق در حوزه‌های مربوط به فناوری‌های کترل خوردگی، بخش عظیمی از پژوهش‌ها و تحقیقات کشورهای پیشرفته را به خود اختصاص داده است. خوردگی معمولاً در سطح مواد رخ داده و به‌واسطه واکشن با محیط، سبب تخریب آن‌ها می‌گردد. راه‌های مختلفی جهت کاهش نرخ خوردگی و بهبود طول عمر مواد و وسایل وجود دارد؛ برخی از روش‌هایی که امروزه به کار گرفته می‌شوند، شامل استفاده از موادی است که با استفاده از فناوری نانو ساخته شده‌اند. این روش‌ها شامل اصلاح سطح یا استفاده از پوشش‌هایی است که بتوانند مقاومت به خوردگی زیر لایه را افزایش دهند [۱].

مس یکی از مواد متداولی بوده که به صورت سنگ‌های معدنی در محیط وجود دارد و از هزاران سال پیش، بشر به طور گستردگی از آن در صنایع مختلف خانگی، هنری و نظامی استفاده کرده است. این فلز بعد از آهن در صنایع امروز به دلیل داشتن خصوصیت‌هایی مانند چکش‌خواری خوب، هدایت حرارتی و الکتریکی عالی، همچنین واکشن‌پذیری شیمیایی پایین، رنگ‌های زیبا و مقاومت به خوردگی، بیشترین کاربرد را دارد. مس و آلیاژ‌های آن به طور وسیعی در محیط‌های دریایی به کار می‌روند. به عنوان مثال مس در خطوط انتقال الکتریستیک، خطوط لوله درون دریا و مبدل‌های حرارتی به کار می‌رود. یکی از مشکل‌های موجود در این کاربردها، حساسیت و ضعف مس در برابر یون کلرید ( $\text{Cl}^-$ ) است. مس در هنگام غوطه‌وری در آب دریا با یون کلرید واکشن داده و فیلم  $\text{CuCl}$  بر روی سطح مس به‌واسطه انجام واکنش‌های آندی به وجود می‌آید. این فیلم توانایی حفاظت از خوردگی مس را ندارد. با گذشت زمان، این خوردگی اثر محرابی بر خصوصیت‌های ذکر شده مس می‌گذارد [۲]. درنتیجه انجام اقدام‌های لازم

برای پیش‌گیری و حفاظت از خوردگی مس در آب دریا الزامی است. یکی از روش‌های بهبود مقاومت به خوردگی مس در محیط ذکر شده، ایجاد پوششی با مشخصه آب‌گریز<sup>۱</sup> از نانو ترکیب‌های آلی-معدنی بر روی سطح آن است.

برای ساخت پوشش‌های آب‌گریز مقاوم به خوردگی، می‌توان از ترکیب‌های آلی-معدنی استفاده کرد. پیشرفت فناوری‌های جدید موجب افزایش تمایل به شناخت و استفاده از این ترکیب‌ها با هدف ترکیب خواص ذاتی مواد معدنی با پلیمرهای آلی شده است. امروزه ترکیب‌های آلی-معدنی با داشتن ساختارهای بسیار متنوع و به خصوص تأمین همزمان مزایای فاز آلی (انعطاف‌پذیری، وزن سبک، ضربه‌پذیری بالا و فرآیند‌پذیری ساده) و فاز معدنی (مقاومت مکانیکی بالا، پایداری شیمیایی و پایداری گرمایی) بسیار مورد توجه می‌باشند. یک گروه از ترکیب‌های آلی-معدنی که به عنوان ماده اولیه در تحقیق‌های متفاوت به کار می‌رود، ترکیب‌های سیلانی (آلکوکسی سیلان)<sup>۲</sup> نام دارد. این ماده از ترکیب یک شبه فلز مانند سیلیسیم با گروه هیدروکسیل (OH-) تهیه می‌شود. آلکوکسی سیلان ماده‌ای گران قیمت به شمار می‌رود. در عوض، با استفاده از این ماده اولیه می‌توان به محصولاتی با خلوص بالا در مدت زمان کوتاه دست یافت.

یکی از روش‌های ساخت پوشش از ترکیب‌های آلی-معدنی که دارای مزایای بسیاری می‌باشد، روش سل ژل است. با استفاده از فرآیند سل ژل امکان ایجاد فاز غیر آلی با پراکندگی بسیار ریز حتی در مقیاس مولکولی (نانو)، در یک زمینه پلیمری آلی وجود دارد. درواقع شرایط ملایم فراهم شونده از سوی فرآیند سل ژل در مسیر تولید، از جمله استفاده از پیش‌سازه‌های آلی-معدنی و همچنین حلال‌های آلی در این فرآیند، دماهای نسبتاً پایین انجام عملیات تولید و به طور کلی انعطاف‌پذیری این سیستم، امکان اختلاط اجزای آلی و معدنی را در مقیاس نانومتری ایجاد نمود. مواد در مقیاس نانو، خواص فیزیکی، شیمیایی و شیمی فیزیکی بی نظیری از خود نشان می‌دهند و این می‌تواند سبب بهبود مقاومت به خوردگی در مقایسه با همین مواد در حالت توده گردد. همچنین روشن شده است که نانوذرات به علت سطح ویژه بالایشان، توزیع یکنواختی روی ماده زمینه داشته و با استفاده از حداقل ماده مصرفی می‌توان به حد اکثر بازده پوششی رسید. خصوصیت‌های مواد ساخته شده با این روش تابع عواملی همچون ساختار آلکوکسی اولیه، نسبت آب به آلکوکسید، اسیدی یا بازی بودن محیط واکنش وغیره است [۳].

در زمینه تاثیر پوشش‌های آب‌گریز مقاوم به خوردگی متشکل از ترکیب‌های سیلانی بر رفتار خوردگی مس، می‌توان به تحقیق لی<sup>۴</sup> و همکارانش [۴] اشاره کرد که پوششی از بیس‌تری‌متوكسی سیلیل اتان<sup>۵</sup> و تری‌مرکاپتوپروپیل (تری‌متوكسی سیلان)<sup>۶</sup> را بر روی مس اعمال و بر رفتار خوردگی آن در محلول کلرید سدیم ۰/۱۵ مولار تمرکز کردند. نتایج نشان دادند که تمامی نمونه‌های پوشش داده شده نسبت به مس بدون پوشش، دارای جریان کاتدی کمتر، جریان آندی مشابه و درنهایت جریان خوردگی کمتری هستند. در این زمینه مطالعات مختلف دیگری نیز

<sup>1</sup> Hydrophobic

<sup>2</sup> Alkoxysilane

<sup>3</sup> Li

<sup>4</sup> Bis(trimethoxysilyl)ethane

<sup>5</sup> (3-mercaptopropyl)trimethoxysilane

صورت گرفته است [۱۰-۵]. نقطه مشترک در گزارش نتایج تمامی محققان در این زمینه، تشکیل پیوند کووالانسی Si-O-Me میان پوشش سیلانی و سطح فلز و پیوند عرضی Si-O-Si در هنگام هیدرولیز گروه سیلاتول OH-Si است. این پیوندها به طور کامل در سرتاسر پوشش سیلانی تشکیل شده و درنتیجه از نفوذ محلول خورنده و یون‌های مضر موجود در آن مانند یون کلرید و ملکول اکسیژن و رسیدن آن‌ها به سطح زیر لایه فلزی جلوگیری می‌کند.

با توجه به خوردگی مس و آلیاژ‌های آن در حضور یون کلرید و لزوم جلوگیری از خوردگی آن‌ها در این محیط و ذکر این نکته که پوشش‌های پایه سیلان، به‌واسطه انجام پیوندهای مستحکم باعث بهبود چسبندگی بین زیرلایه فلزی و پوشش آلی می‌شوند، تصمیم گرفته شد که رفتار خوردگی پوشش جدیدی از ترکیب‌های سیلانی بر زیرلایه مسی در محلول کلرید سدیم بررسی شود.

در این پژوهش یک پوشش آب‌گریز جدید متشکل از ترکیب‌های آلی-معدنی به روش سل ژل تهیه و بر زیر لایه مس اعمال گردید و رفتار خوردگی آن در محلول کلرید سدیم با درصدهای وزنی متفاوت، زمان غوطه‌وری مختلف در محلول کلرید سدیم و آب خلیج فارس بررسی شد. در ساخت این پوشش از دو ترکیب آلی-معدنی سیلانی به نام TEOS<sup>۱</sup> ترااتیل اورتوسیلیکات<sup>۱</sup> (TEOS) و تری‌مرکاپتوپروپیل (تری‌متوكسی‌سیلان) (MPTMS)، استفاده شد. TEOS نسبت به MPTMS، ماده‌ای با هزینه اولیه کمتر است؛ اما گزارش‌ها حاکی از آن است که TEOS با سطح مس پیوند برقرار نکرده و درنتیجه حفاظت از خوردگی خوبی ندارد. افزودن مقدار کمی TEOS به MPTMS باعث می‌شود که پوشش سیلانی با سطح زیر لایه مسی از طریق پیوند Cu-S ارتباط برقرار کند. حاصل این اختلاط، ایجاد پوشش ترکیبی از TEOS+MPTMS است که دارای راندمان اقتصادی و حفاظت از خوردگی خوبی است. مشخصه‌یابی این پوشش با استفاده از آزمون طیف‌سنجه مادون‌قرمز تبدیل فوریه<sup>۲</sup> (FTIR)، میکروسکوپ نیروی اتمی (AFM)، میکروسکوپ الکترونی روبشی (SEM) و میکروسکوپ نوری صورت گرفت. برای بررسی رفتار خوردگی پوشش از آزمایش‌هایی مانند پلاریزاسیون پتانسیو دینامیک، طیف‌سنجه امپدانس الکتروشیمیایی و آزمون غوطه‌وری کمک گرفته شد. بررسی کامل نتایج به دست آمده از آزمون‌های خوردگی نشان داد که پوشش سیلانی در محلول حاوی یون کلرید از خوردگی مس جلوگیری می‌کند.

<sup>1</sup> Tetraethyl orthosilicate

<sup>2</sup> Fourier transform-infrared

## فصل دوم

### مرواری بر مطالب

#### ۱-۲ مس و آلیاژهای آن

مس را می‌توان اولین فلز مورد استفاده بشر دانست. این فلز علاوه بر داشتن سختی کافی دارای خاصیت انعطاف‌پذیری عالی نیز هست؛ به‌طوری‌که می‌توان آن را به صورت اشکال متنوع و گوناگونی تولید کرد. در طبیعت این فلز اغلب به صورت کانی‌های مختلف یافت می‌شود.

امروزه مس به عنوان یکی از فلزات مهم مهندسی شناخته می‌شود؛ زیرا در شرایط غیر آلیاژی و همچنین به صورت آلیاژ با فلزهای دیگر کاربرد وسیعی دارد. در شرایط غیر آلیاژی، این فلز ترکیب خارق العاده‌ای از خواص دارد که آن را به صورت ماده‌ای مفید در صنایع مختلف معرفی می‌کند. بعضی از این خواص، هدایت الکتریکی زیاد، مقاومت به خوردگی، شکل‌پذیری خوب، استحکام تسلیم معقول، خواص تاب‌کاری<sup>۱</sup> قابل کنترل و مشخصه‌های لحیم‌کاری و اتصال می‌باشند. این فلز به دلیل احراز کلیه شرایط حلالیت از جمله ظرفیت، ردیف الکتروشیمی و اندازه اتمی و قرار گرفتن در میانه جدول تناوبی، به عنوان یکی از حلال‌ترین فلزها شناخته شده است. تقریباً کلیه عناصر به جز سرب تا حدودی در مس قابلیت اتحال دارند و درنتیجه آلیاژهای مختلف و متنوع مس و سایر عناصر وجود دارد.

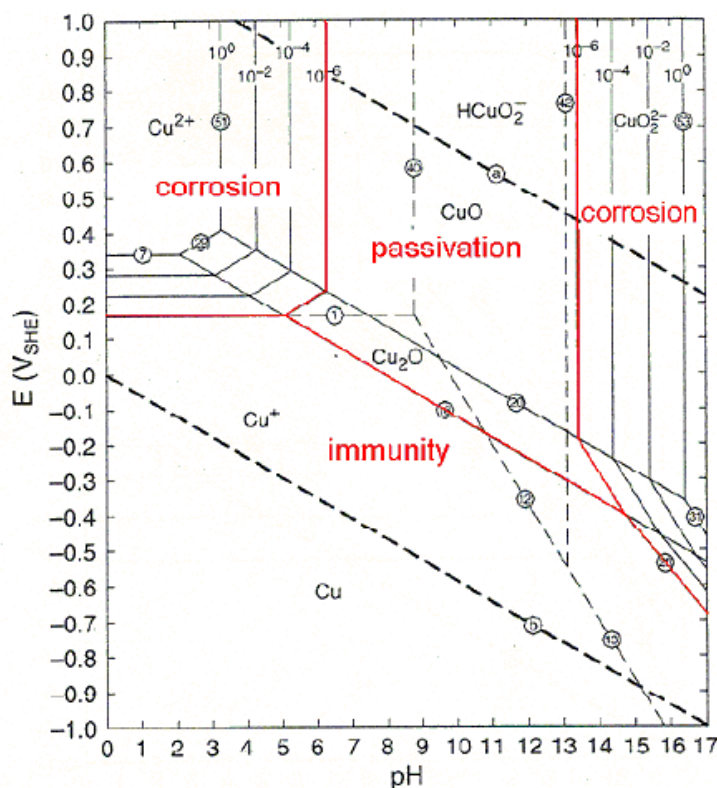
---

<sup>1</sup> Anneal

انواع مختلف آلیاژهای برنج و برنز که مس با فلزات دیگر می‌سازد، دارای خواص مفیدی هستند که موجب می‌شود مس آلیاژ شده در بیشتر کاربردهای مهندسی استفاده شود. برخی از این کاربردها عبارت‌اند از: سیم‌ها و لوله‌های مسی، موتورهای الکترومغناطیسی، بست قورباغه‌ای<sup>۱</sup> هواپیما، پیچ، سخت‌افزار دریایی، محورهای پمپ، دسته و بدنه شیرها و بسیاری کاربرد دیگر در صنایع مختلف ساختمانی، حمل و نقل و الکتریکی دارد [۱۱].

### ۱-۲ خوردگی مس

مس و آلیاژهای آن دارای مقاومت به خوردگی خوبی در برابر آب می‌باشند. پتانسیل مس خالص نسبت به الکترود مرجع هیدروژن ۰/۳۳۷ ولت است. در بیشتر اتمسفرهای صنعتی و دریایی، آلیاژهای مس دارای مقاومت به خوردگی خوبی هستند. می‌توان قسمتی از رفتار خوردگی مس را با نمودار پوربه<sup>۲</sup> Cu-H<sub>2</sub>O در دمای ۲۵ درجه سانتی‌گراد (شکل ۱-۲) شرح داد. منطقه مابین دو خط a و b، بیان‌گر منطقه پایداری آب است. مشاهده می‌شود که قسمتی از منطقه مخصوصیت مس با منطقه پایداری آب مشترک است. مس در آب فاقد اکسیژن خوردده نمی‌شود؛ اما حضور اکسیژن، باعث خوردشدن مس و ورود به منطقه خوردگی می‌شود. به عبارتی دیگر احیای اکسیژن، واکنش کاتدی اولیه در خوردگی مس است و در حضور اکسیژن باید از مس حفاظت کرد [۱۲].

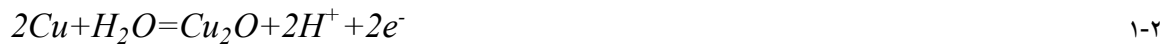


شکل ۱-۲. نمودار پوربه مس و آب در دمای ۲۵ درجه سانتی‌گراد [۱۲].

<sup>1</sup> Turnbuckle

<sup>2</sup> Pourbaix diagram

با توجه به شکل ۱-۲، در pHهای بیشتر از ۶، مس اکسید می‌شود. در حالی که در pHهای کمتر از ۶، یون فلزی M<sup>2+</sup> (Cu<sup>2+</sup>) پایدار است. در pHهای بیشتر از ۶ دو نوع اکسید مس، وابسته به پتانسیل الکترود به وجود می‌آید. در پتانسیل پایین Cu<sub>2</sub>O و در پتانسیل بالا CuO پایدار است. به طور کلی تأثیر آب بر روی خوردگی مس بستگی به ترکیب‌های موجود در آن دارد که مهم‌ترین آن‌ها وجود مقدار زیاد اکسیژن و CO<sub>2</sub> حل شده است. واکنش‌هایی که در این حالت انجام می‌شود به قرار زیر است [۱۳]:



مس در مجاورت هوا و رطوبت با یک پوسته نازک اکسید مس که به رنگ سیاه است، پوشیده می‌شود. این پوسته نازک بقیه فلز را از اکسید شدن حفظ می‌نماید. اگر مدت زیادی این اکسیدها در مجاورت محیط قرار گیرند و یا سطح مس به شدت اکسید شود، رنگ مایل به سیاه آن به تدریج به رنگ سبز تبدیل می‌گردد. هوای محیط در تشکیل فازهای سبز رنگ که محلولی از سولفات و کلرها بازی است، بسیار مؤثر بوده به طوری که اکثراً در نواحی صنعتی ترکیب‌های سولفاتی و در مجاورت دریاها ترکیب‌های کلریدی به وجود می‌آید. نرخ خوردگی مس و آلیاژهای آن در محیط‌های مختلف به طور خلاصه در جدول ۱-۲ آمده است [۱۴].

جدول ۱-۲. خوردگی مس و آلیاژهای آن در محیط‌های مختلف [۱۲]

| محیط مورد استفاده | نمونه  | نرخ خوردگی تقریبی          |
|-------------------|--|----------------------------|
| ساختمان           | نمای ساختمان و دستگیره درها                    | ۰/۵ تا ۲/۵ میکرومتر بر سال |
| آب                | اتصالات خطوط انتقال آب                         | ۱۰ میکرومتر بر سال         |
| دریا              | خطوط انتقال، محور و سوپاپ در دستگاه‌های دریایی | ۵۰ میکرومتر بر سال         |
| صنعت              | مبدل حرارتی و کندان سور                        | متغیر (وابسته به محیط)     |
| الکتریسیته        | سیم، اتصالات و مدارهای انتقال جریان            | متغیر                      |

## ۲-۱-۲ خوردگی مس در آب دریا

آب دریا بیش از ۷۰٪ از سطح زمین را پوشش می‌دهد و آن را به عنوان یک الکتروولیت خورنده طبیعی رایج در نظر می‌گیرند. این الکتروولیت به دلیل پدیده خوردگی، بخش بزرگی از سازه‌های فلزی در معرض آب دریا و محیط‌های دریایی را خراب می‌کند. خوردگی در آب دریا یک سازه‌ی دریایی، علاوه بر قرار گیری در اتمسفر دریایی می‌تواند در آب دریا و در خاک بستر دریا نیز رخ بدهد. آب دریا اندکی قلایی است و در حدود ۳/۴ درصد وزنی نمک